

(24) 道路橋の設計荷重とその強度 (20分)

建設省道路局建設課 村 上 永 一

道路を交通する車輛は絶えず大型化し、その重量を増加する傾向にあつて、今後の進歩を予想することは極めて困難である、然し道路橋は相當に遅い将来に於ても、使用可能であることが要求されて居る。

車輛は大型化する傾向にあつても、道路の車線巾員を隨時増大することが極めて困難であつて從つて車輛巾員に対する制限の拡大には最大の検討を必要とするものである。

自動車交通の最も発達してゐる米國に於ても、車輛の最大巾員は 96 吋であつて、この制限は現存の道路の巾員が充分になつたときには 102 吋に拡大されることが勧告されてゐる。

車輛巾員に対する制限が基礎となつて、車輛高、車輛長、輪重、車輛総重量に対しても自から、経済的限界が存在する。一方多少の配慮により、橋脚に対する悪影響の少ない車輛を製作することが可能である。茲に標準自動車が考えられ、この荷重が現存自動車の総てを代表すると同時に、将来に於て造らるべき車輛はこの荷重よりも悪影響ないことを期待するものである。

我國の道路橋設計荷重は昭和 14 年鋼道路橋設計示方書により、13t トラックと 500 kg/cm^2 の群集荷重となり成る第 1 種荷重と、9t トラックと 400 kg/m^2 の群集荷重より成る第 2 種荷重とであり、特に木橋に限り 6t トラック荷重を使用し得ることになつてゐる。

然し、我國の設計荷重には標準自動車は使用されてゐない。そして第 1 種荷重と第 2 種荷重との数値的な関連性がない。これに対し米國の道路橋設計荷重は、標準自動車を使用してゐる。この標準自動車は前後車軸間距離は 14 呎、総重量を W とした場合、前車軸 $0.2 W$ 、後車軸 $0.4 W$ であり、設計荷重はこの標準自動車の前後に引続き 30 呎の間隔をおいて $\frac{3}{4}$ の重量の標準自動車が配置される。そして $W=20$ 噸の場合が H-20 荷重 $W=15$ 噸の場合が H-15 荷重、 $W=10$ 噸のときが H-10 荷重となり、從つてこれら荷重の間には比例的関係がある。

以上我國と米國との設計荷重の組成の相違を述べたが、我國の荷重の欠点は橋梁の耐荷力 (Capacity) を算出する場合に非常な不便を生ずるものである。

耐荷力とはその橋梁の一車線巾員当たりに通し得る最大車輛（標準自動車に換算して）の総台数を以つて表わすもので、我國の設計荷重で第 1 種荷重より強い弱いと云う表現が余儀なくされる。

更に最近セミ、トレラー等の大型車輛の普及に伴つて、米國では標準トレラー荷重が考えられる様になり、H-15-S12 及び H-20-S16 荷重が使用される様になつた。

次に如何にして橋梁の Capacity が迅速に計算されるか、これら近似解については米國に於て最も普及している。更に設計荷重が変化したことより、既往の橋梁が現在において如何なる強度（新しい設計荷重に対して）をもつかを検討する方法を考え、この方法を規定しなければならない。米國においてもトレラー荷重を採用したことは大きな設計荷重上の変革であつて、これに対処して、Capacity 算定も示方書に規定してある、我國に於て大きい荷重を採用するためには、既往の橋梁の Capacity を明かにし、これを容易に算定しうる方法を明示しなければならない。この意味において耐荷力を簡易に算定する方法の研究が必要であり、この方面より逆に設計荷重の内容も充実されるものである。

標準自動車を仮定し、我國の既往の橋梁に対する Capacity 算定の近似解について説明しやう。

(25) 鹿乗橋振動測定について (20分)

建設省土木研究所 猪瀬寧雄

I. まえがき 本橋は愛知縣東春日井郡高藏寺町と同郡水野村との立会庄内川の渓谷に架設せられた二鉄拱橋で 2 径間よりなり橋齡古く近代の重交通に対し危険を感じるに至つたので愛知縣当局はこれに交通制限を行つてゐたが今般補強をなすに際しその対策樹立の基本的資料を得るために建設省土木研究所に対し本橋の振動測定の依頼があつたので昭和 24 年 12 月 24 日土木研究所において測定を実施したその測定結果をこゝに報告せんとす

るものである。

Ⅱ. 橋梁の構造並びに現況 本橋構造の大略を示すと次の如くである(図-1, 図-2)

図-1

鹿乗橋-現況及び振動測定実験

図-1

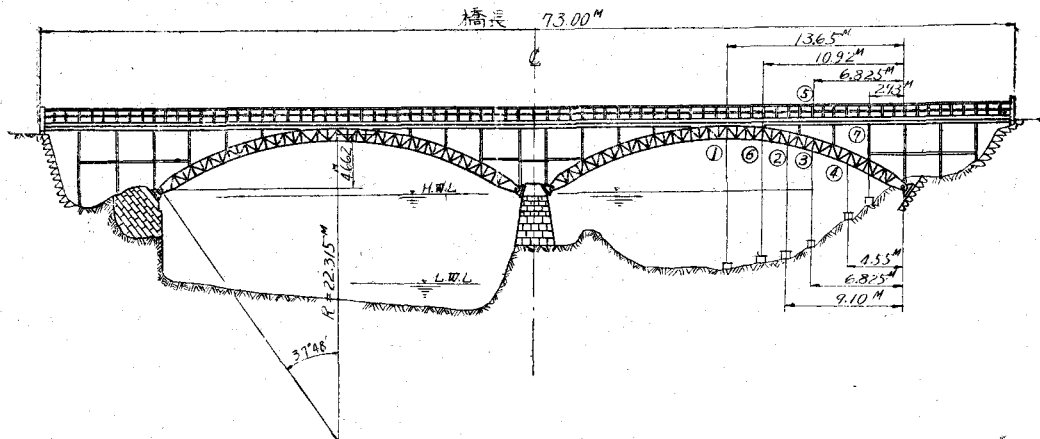
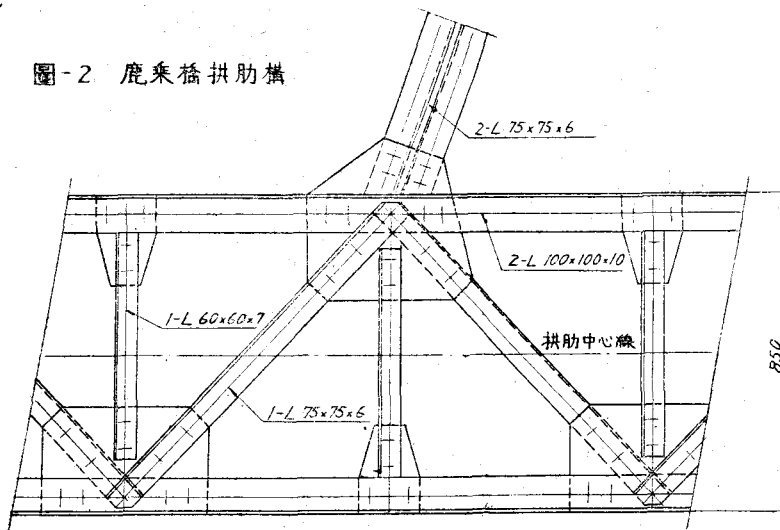


図-2 鹿乗橋 拱肋構



型式: 圆形二铰拱鋼橋

拱助: ワーレン型

径間: 2@27.3m=54.6m

橋長: 73m

有效巾員 3.1m

拱矢 4.662m

部材断面	上弦材: 2Ls 100×100×10,	下弦材: 2Ls 100×100×10
	斜材: 1L 75×75×6,	垂直材: 1L 60×60×7
	支柱: 2Ls 75×75×6 及び 50×50×6	

本橋が活荷重に対し非常に悪い性質を示す主なる原因をあげると次の如くである。

(1) 重量の非常に軽いこと, (2) 床部が剛性に乏しいこと, (3) 橋梁上の路面の凹凸が甚しいこと, (4) 主拱肋その他の剛性の小さいこと, (5) 腐蝕が相当に進行しており各部の連絡が悪く橋梁全体として非常に弛んでいること。

Ⅲ. 振動測定

1. 使用測定機器：田辺式撓度振動計 2台 拱肋並びに横桁の撓み及び振動測定に使用

ヒューゲンベルゲル歪計 拱肋弦材の応力測定に使用

萩原式水平成分変位振動計 1台 橋面の振動測定に使用

上下成分変位振動計 橋面の上下振動測定に使用

測定点として次の7点を選点した。

活荷重としては総重量1t（前輪250kg、後輪750kg）のオート三輪車を用い予定速度は5km/hr～25km/hrとし右岸及び左岸より一定速度をもつて走行させ測定機の据付の都合上右岸側径間を選んで測定を実施した。

測定は3回に分けて実施し第1次はNo.1, No.3, No.5, 第2次はNo.2, No.4, 第3次はNo.6及びNo.7の測定を行つた。

2. 測定結果の中主なる事柄の大要をのべると次のようになる。

(1) 最大振巾と走行速度はNo.1では12km/hr附近でmaxとなり12～17km/hrで急激に減小、17km/hr以上では速度に

比例して上昇する。他の測点でも略々同様の傾向が認められたがmaxをあたえる速度が異なる。

(2) 衝撃率は一般には速度の上昇に伴つて大となるがある速度に対してmaxをあたえる傾向あり、更に場所的に見ると中央附近衝撃率は大きく表われ支承部に近づくに従つて小となる。又前記の極大点は拱頂から支承に近づくに従つて高速度の方に移行する。

(3) 減衰比の測定結果は次のようになつた。

No.1では1:0.6～1:0.5, No.2では1:0.4～1:0.3, No.5(橋面)では1:0.5かく減衰の速い事は橋梁各部に相当の弛みのある事が推察せられる。

(4) 固有振動周期は勢力式により理論的に求めた固有振動周期と実測値とを比較すると次の結果が得られた。

(a) 拱頂部では拱軸の伸縮を伴う左右対称型の振動が支配的であると見る事ができるのでこれによる第1次固有振動周期と実測値とを比較すると次のようになる。

計算値 0.0841sec, 実測値 0.100～0.111sec

これより曲げ剛性の低下を逆算してみると29～43%となる。

(b) 拱頂以外の部分では曲げによる左右非対称型の振動が支配的と見做し得るからこれによる第1次固有振動周期と実測値とを比較して見ると次のようになる。

計算値 0.126sec, 実測値 0.133～0.154sec

これより曲げ剛性の低下を逆算してみると9～32%となる。

以上の計算から曲げ剛性が相當に低下している事が分る。

IV. 結語 本橋の補強対策としては現在の拱肋を鉄骨としてメラン式鉄筋コンクリート橋に改修する方法が採用せられているが本法は昭和18年に東京都が実施した万年橋の実例に従つて見ても極めて有効であると考えられる、万年橋の補修前後における振動測定結果を示すと右表のようになる。

本橋においても補強後再び振動測定を行い補強効果を確認せん事を期待するものである。

測定番号	左岸起拱点からの距離及び位置	備考
1	13.65 m($\frac{1}{2}l$)	拱肋(拱頂)
2	9.1 " ($\frac{1}{3}l$)	拱肋
3	6.825 " ($\frac{1}{4}l$)	"
4	4.55 " ($\frac{1}{6}l$)	"
5	6.825 " ($\frac{1}{4}l$)	橋面
6	10.92 " ($\frac{2}{5}l$)	横桁
7	2.73 " ($\frac{1}{10}l$)	"

	補強前	補強後
振巾	1.63～7.01mm	0.24～1.00mm
最大静的撓み(正)	5.46～7.61 "	0.32～0.47 "
" (負)	4.80～5.89 "	0.18～0.31 "
衝撃による最大撓み(正)	7.77～12.28 "	0.50～0.82 "
" (負)	5.25～10.90 "	0.30～0.99 "
減衰比	1:0.39～1:0.64	1:0.14～1:0.47
振動周期	0.42～0.44sec	0.37～0.40sec